

UDK 528.41:528.283:624.19(497.5)
Izvorni znanstveni članak

Nezavisna astronomска kontrola vanjske geodetske mreže tunela “Mala Kapela”

Nikola SOLARIĆ, Drago ŠPOLJARIĆ – Zagreb*

SAŽETAK. Opisana je automatizirana astronomska kontrola vanjske geodetske mreže tunela “Mala Kapela” i moguće povećanje točnosti proboga tunela, osobito ako su strane za orientaciju poligonskih vlakova kojima se ulazi u tunel kratke i strme.

U dosadašnjim primjenama nezavisne astronomske kontrole geodetskih mreža iznad tunela automatizirano je određivan samo astronomski azimut. Komponente otklona vertikale računane su iz topografskih masa ili geoida, što je manje točno od komponenti određenih astrogeodetskim mjerjenjima. U jesen 2003. prvi put je u cijelosti primijenjena automatizirana astronomska kontrola GPS mreže iznad tunela “Mala Kapela” duljine 6 km.

Nakon proboga tunela iz kontrolnih je mjerena dobiveno poprečno odstupanje od osi 1,0 cm. Uzme li se u obzir utjecaj otklona vertikale poprečno odstupanje iznosi 0,2 cm. Da su strane za orientaciju poligonskih vlakova kojima se ulazi u tunel bile strme npr. 30° i azimut strane 144° , utjecaj otklona vertikale bio bi 20,2 cm. Takvo znatno odstupanje od osi prouzročilo bi dodatni trošak od približno 1 800 000 US\$ za reprofiliranje i betoniranje dviju tunelskih cjevi. Prema tomu, uzmememo li u obzir utjecaj otklona vertikale možemo smanjiti dodatne troškove betoniranja. Pravilnikom o tehničkim normativima za projektiranje i gradnju tunela u Republici Hrvatskoj dopuštena su velika odstupanja pri proboru tunela, koja mogu prouzročiti dodatni finansijski trošak. Danas se dopuštena odstupanja mogu smanjiti ako se pri određivanju smjera probora tunela primjeni dodatna nezavisna astronomska kontrola i ako se uzme u obzir otklon vertikale.

Ključne riječi: nezavisna kontrola vanjske geodetske mreže tunela, automatizirano astronomsko određivanje azimuta, automatizirano određivanje astronomske širine i duljine.

*Prof. emer. dr. sc. Nikola Solarić, doc. dr. sc. Drago Špoljarić, Sveučilište u Zagrebu, Geodetski fakultet, Kačićeva 26, 10000 Zagreb, e-mail: nikola.solarić@geof.hr, drago.spoljaric@geof.hr

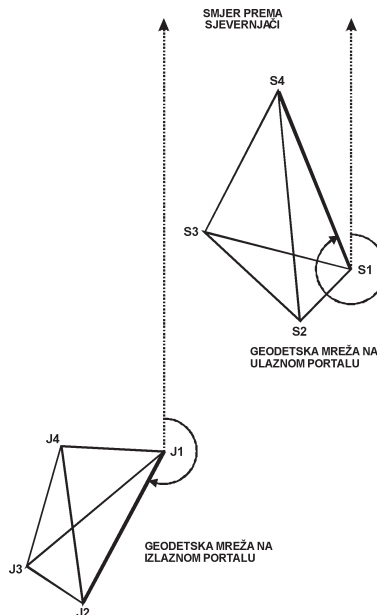
1. Uvod

Nezavisna astronomска kontrola geodetske mreže iznad tunela i orijentacija poligonskih vlakova kojima se ulazi u tunel sastoje se od određivanja astronomске širine i duljine stajališnih točaka i određivanja astronomskog azimuta strana u blizini ulaza u tunel i izlaza iz njega. Prije su astronomski opažanja i obradba mjerenja bila dugotrajna i neekonomična, no automatizacijom mjerenja moguće ih je uspješno primijeniti pri nezavisnoj kontroli klasičnih i GPS geodetskih mreža.

2. Nezavisna astronomска kontrola vanjske geodetske mreže tunela

Pri nezavisnoj astronomskoj kontroli vanjske geodetske mreže tunela određuju se astronomski azimuti jedne strane na ulaznom i jedne strane na izlaznom portalu tunela opažanjem Sjevernjače (beskonačno udaljene točke, slika 1) (Solarić i dr. 1990, 1997b). Uspoređujući astronomski azimute reducirane na elipsoid i azimute na elipsoidu (dobivene iz vanjske geodetske mreže iznad tunela) kontroliramo da li je dio mreže na ulazu u tunel odnosno izlazu iz njega dobro orijentiran. Od toga će zavisiti dobra orijentacija poligonskih vlakova kojima se ulazi u tunel, odnosno uspješnost proboga tunela.

Pri astronomskoj kontroli geodetske mreže iznad tunela mjere se samo dva kuta na ulaznom i izlaznom portalu, a npr. u poligonskim vlakovima mjere se kutovi na više stajališta, što uzrokuje i veću mjernu nesigurnost poligonskih vlakova.



Slika 1. Određivanje astronomskih azimuta strane na ulaznom i izlaznom portalu tunela opažanjem Sjevernjače.

Uzmu li se u obzir i astronomski određeni azimuti pri izjednačenju vanjske geodetske mreže iznad tunela, može se povećati točnost smjernih kutova početnih strana poligonskih vlakova kojima se ulazi u tunel. To je osobito važno ako su strane za orijentaciju kraće.

Pri mjerenu kutova mjeri se s vertikalnom osi teodolita postavljenom u smjer vertikale (smjer viska), a trebali bi se mjeriti s vertikalnom osi teodolita u smjeru normale na elipsoid. Zato izmjerene kutove na Zemljinoj fizičkoj površini treba reducirati na kutove na elipsoidu, jer se sva računanja izvode na elipsoidu.

Smjer vertikale na geoid i smjer normale na elipsoid najčešće se ne poklapaju. Kut između tih smjerova nazivamo otklonom vertikale, koji se obično rastavlja na dvije komponente, u smjeru meridijana ξ i u smjeru okomitom na meridian η . Te su komponente potrebne:

- da bi se opažanja prema Sjevernjači i ciljnoj točki reducirala na elipsoid i
- da bi se reduciralo prijelomni kut na elipsoid ako je strana za orijentaciju poligonskog vlaka kojim se ulazi u tunel strma.

3. Automatizirano astronomsko određivanje azimuta strane geodetske mreže

Razvoj automatiziranog astronomskog određivanja azimuta strane geodetske mreže započet je na Geodetskom fakultetu Sveučilišta u Zagrebu 1983. godine (Solarić 1983, 1985, 1991). U prvoj je varijanti primijenjen elektronički teodolit Kern E2 ($\pm 0,5''$), programabilno računalo Hewlett Packard HP 41 CX i termalni pisač (slika 2, I. varijanta).



I. varijanta



II. varijanta

Slika 2. Instrumentarij za automatizirano određivanje astronomskog azimuta.

U toj se automatizaciji, zbog povećanja točnosti, pri svakom opažanju ciljnog signala i nebeskog tijela viziralo dva puta. Ako je razlika između dvaju mjerena bila velika, mjerenje se moglo ponoviti. Podaci mjerena i rezultati ispisivani su na termalnom pisaču.

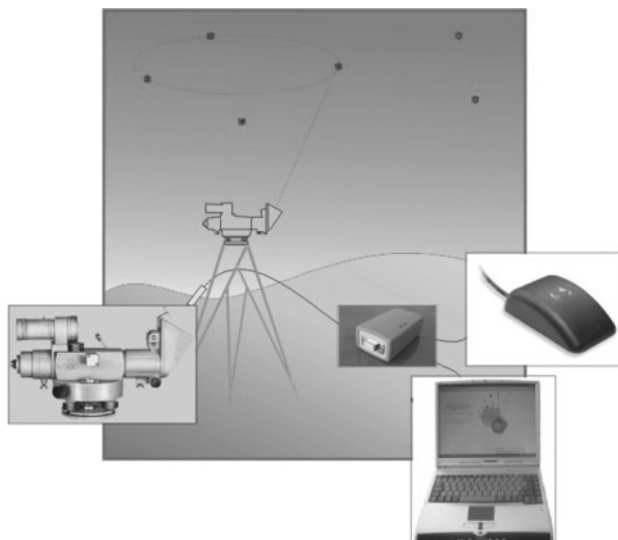
Švicarska tvrtka geodetskih instrumenata Kern ocijenila je našu automatizaciju uspjelom, uspoređujući ju s automatizacijom vlastitog razvojnog odjela i sa Sveučilištu u Beču, te poklonila Geodetskom fakultetu laptop računalno Toshiba T1600.

Godine 1990. razvijeno je automatizirano određivanje azimuta s prijenosnim računalom Toshiba T1600 (slika 2, II. varijanta) (Solarić i dr. 1991). U toj je automatizaciji napravljeno nekoliko značajnih poboljšanja:

- automatski se izbacuju mjerena s grubim pogreškama i dodatno traže nova mjerenja,
- ne treba astronomski godišnjak,
- mjerena se izvode brže nego u prijašnjoj automatizaciji,
- standardno odstupanje određivanja azimuta za približno pola sata opažanja manje je od $0,3''$ (Solarić i dr. 1992).

4. Automatizirano određivanje astronomске širine i duljine

Automatizacija istodobnog određivanja astronomске širine i duljine odnosno komponenata otklona vertikale s pomoću astrolaba Zeiss Ni2 i određivanje vremena s pomoću GPS-a (slika 3) razvijeno je 2002. godine (Špoljarić 2002). U toj je automatizaciji značajno:



Slika 3. *Instrumentarij za istodobno automatizirano određivanje astronomskih koordinata.*

- ne treba određivati korekciju sata,
- izbor zvijezda za opažanje jednostavno se obavlja na zaslonu računala,
- moguće je odmah na terenu obraditi rezultate mjerena,
- standardno odstupanje određivanja astronomске širine i duljine, a i komponenta otklona vertikale je $0,3''$ (ibid.).

5. Primjenjene nezavisne astronomске kontrole vanjskih geodetskih mreža

Nezavisna astronomска kontrola klasičnih geodetskih mreža iznad tunela primjenjena je:

- na 12 km dugom tunelu Chiffa u Alžiru i
- na 12 km dugom tunelu Nevesinje u Bosni i Hercegovini.

Na tunelu Chiffa dobivena je razlika između razlike azimuta strana na jednom i drugom portalu određenih astronomskim i geodetskim mjeranjima

$$\Delta(\Delta A) = 0,37'',$$

a dopuštena je $2,7''$, što je potvrđilo da je vanjska geodetska mreža tunela dobro postavljena.

Na tunelu Nevesinje dobivena je razlika

$$\Delta(\Delta A) = 1,26'',$$

a dopuštena je $2,4''$, pa je i ta geodetska mreža dobro postavljena (Solarić i dr. 1997a, 1997b, 1990). Komponente otklona vertikale na oba tunela određene su računski iz topografskih masa, što je manje točno nego iz astronomskih i elipsoidnih koordinata stajališta.

Na GPS mreži grada Zagreba i na zamišljenom tunelu između tornja Rudarskog fakulteta i Medvedgrada postignuta je razlika azimuta

$$\Delta(\Delta A) = 1,2'',$$

a dopuštena je $6,2''$, što upućuje na zaključak da je GPS mreža dobro postavljena (Solarić i dr. 2005). Komponente otklona vertikale određene su iz geoida grada Zagreba.

U cijelosti automatizirana nezavisna astronomска kontrola GPS mreže iznad tunela prvi je put primjenjena na tunelu "Mala Kapela" duljine 6 km, a planirana je i na dvanaestkilometarskom tunelu "Čićarija".

6. Vanjska geodetska GPS mreža tunela “Mala Kapela”

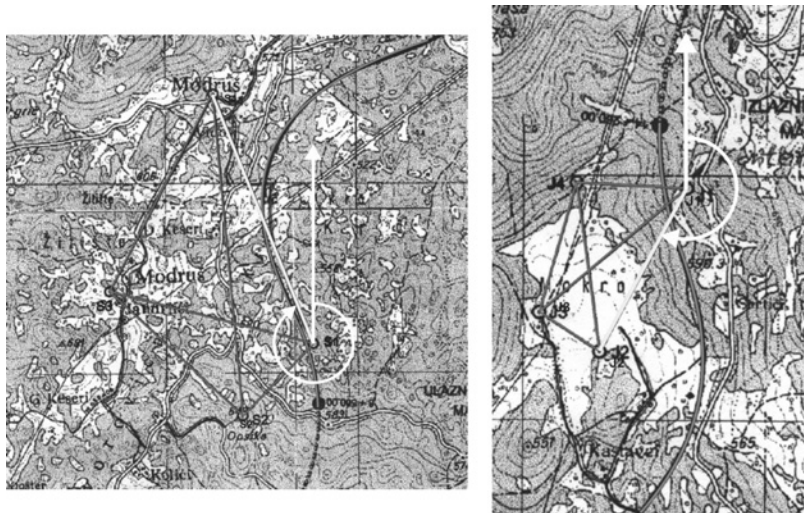
Vanjsku geodetsku GPS mrežu tunela “Mala Kapela” izvela je tvrtka Geoprojekt. Mjerenja su obavljena GPS-om Ashtech Z12 na više trigonometara državne triangulacijske mreže u blizini tunela i točkama vanjske geodetske mreže iznad tunela u tri serije (dvije dnevne i jedna noćna). Na točkama vanjske geodetske mreže na ulaznom i izlaznom portalu izmjereni su kutovi i duljine preciznim elektroničkim tahimetrom Leica TC 2002. Na temelju mjerenja na trigonometrima određene su razlike između koordinata dobivenih GPS-om i koordinata trigonometara u državnoj mreži, te su izabrani trigonometri 35 i 70 s najmanjim rezidualima. Trigonometar 35 izbran je kao početni, a prema trigonometru 70 cijela je mreža orientirana pri transformaciji GPS mjerenja. Gauss-Krúgerove koordinate točaka vanjske mreže odredene su standardnim odstupanjem oko 7 mm (Vojnović, Đuretek 2003).

Kontrolu vanjske geodetske mreže poligonskim vlakom i kontrolu poligonskih vlastova u tunelu izveo je Geodetski zavod Geodetskog fakulteta (Džapo, Zrinjski 2004).

Nezavisnu astronomsku kontrolu GPS mreže tunela “Mala Kapela”, prema narudžbi tvrtke Geoprojekt, izveo je Zavod za geomatiku Geodetskog fakulteta (Solarić, Špoljarić 2003).

7. Nezavisna astronomска kontrola GPS mreže tunela “Mala Kapela”

Na vanjskoj geodetskoj mreži tunela “Mala Kapela” određeni su azimuti strana na južnom i sjevernom portalu tunela opažanjem Sjevernjače (slika 4), a na stajališnim točkama određene su njihove astronomске koordinate kao i komponente otklona vertikale.



Slika 4. GPS mreža na sjevernom i južnom portalu tunela “Mala Kapela” s astronomskim određenim azimutima strana.

Astronomski azimuti strana na oba portala izmjereni su elektroničkim teodolitom Kern E2 u 8 girusa, a postignuta je mjerna nesigurnost $0,25''$.

7.1. Razlike azimuta strana na južnom i sjevernom portalu tunela

Razlike između azimuta na elipsoidu WGS84 određenih astronomskim i GPS mjerjenjima kao i mjerjenjima duljina i kutova na južnom i sjevernom portalu tunela "Mala Kapela" prikazane su u tablicama 1 i 2.

Tablica 1. Razlike azimuta strane J1-J2 na južnom portalu.

$A_{\text{ELWGS84}}^{\text{A}}$ (azimut na elipsoidu određen astronomski)	$208^\circ 10' 06,0''$
$A_{\text{ELWGS84}}^{\text{GPS}}$ (azimut na elipsoidu određen GPS-om ¹)	$208^\circ 10' 02,5''$
$\Delta A_{\text{J1-J2}} = A_{\text{ELWGS84}}^{\text{A}} - A_{\text{ELWGS84}}^{\text{GPS}}$	$3,5''$

Tablica 2. Razlike azimuta strane S1-S4 na sjevernom portalu.

$A_{\text{ELWGS84}}^{\text{A}}$ (azimut na elipsoidu određen astronomski)	$339^\circ 04' 24,3''$
$A_{\text{ELWGS84}}^{\text{GPS}}$ (azimut na elipsoidu određen GPS-om ¹)	$339^\circ 04' 19,8''$
$\Delta A_{\text{S1-S2}} = A_{\text{ELWGS84}}^{\text{A}} - A_{\text{ELWGS84}}^{\text{GPS}}$	$4,5''$

Razlika između razlike azimuta na elipsoidu određenih astronomskim i GPS mjerjenjima¹ na južnom $\Delta A_{\text{J1-J2}}$ i razlike azimuta na sjevernom $\Delta A_{\text{S1-S4}}$ portalu iznosi je

$$\Delta(\Delta A) = \Delta A_{\text{J1-J2}} - \Delta A_{\text{S1-S4}} = 3,5'' - 4,5'' = -1,0''.$$

Ta bi razlika teorijski trebala biti $0''$, ali i razlika od $1,0''$ (s obzirom na dopuštenih $6,8''$) pokazuje da je geodetska mreža iznad tunela "Mala Kapela" dobro postavljena. Tako, primjerice na trećem kilometru razlika $\Delta(\Delta A)$ od $1,0''$ izaziva odstupanje u poprečnom smjeru od samo $1,4$ cm. Na temelju toga zaključili smo da je vanjska geodetska mreža dobro određena i ako poligonski vlakovi u tunelu budu dobro izmjereni može se očekivati vrlo uspešan probor tunela u horizontalnom smjeru.

Na temelju standardnih odstupanja mjerjenja odredili smo dopušteni iznos razlike između razlika azimuta na elipsoidu dobivenih astronomskim i GPS mjerjenjima $\Delta(\Delta A)_{\text{dop}}$. Standardna odstupanja azimuta na elipsoidu dobivenih GPS mjerjenjima su:

- a) $2,7''$ na južnom portalu tunela, duljine strane 761 m,
- b) $1,4''$ na sjevernom portalu tunela, duljine strane 1421 m.

¹i mjerjenjem duljina i kutova u mreži na sjevernom i južnom portalu

Standardno odstupanje određivanja astronomskog azimuta bolje je od $0,5''$ (Solarić i dr. 1992 i 1994), a standardno odstupanje određivanja komponenata otklona vertikale iz mjerjenja astrolabom je $0,5''$. Na temelju toga astronomski azimut reducirani na elipsoid odreden je standardnim odstupanjem od $\sqrt{0,5''^2 + 0,5''^2} = 0,71''$.

Standardno odstupanje astronomskog azimuta reducirano na elipsoid na jednom portalu u odnosu na drugi portal je $0,71'' \cdot \sqrt{2} = 1,0''$.

Standardno odstupanje razlika azimuta na elipsoidu određenih iz astronomskih i GPS mjerjenja na ulazu i izlazu tunela je

$$\text{a) na južnoj strani } \sqrt{2,7''^2 + 1,0''^2} = 2,9'',$$

$$\text{b) na sjevernoj strani } \sqrt{1,4''^2 + 1,0''^2} = 1,7''.$$

Standardno odstupanje razlike između razlika azimuta na elipsoidu određenih astronomskim i GPS mjerjenjima na južnom i sjevernom portalu je

$$\sqrt{2,9''^2 + 1,7''^2} = 3,4''.$$

Dopuštena razlika između razlike azimuta na ulazu i izlazu tunela s 95%-tnom vjerojatnošću je

$$\Delta(\Delta A)_{\text{dop}} = 3,4'' \cdot 2 = 6,8''.$$

Budući da je $\Delta(\Delta A) = -1,0''$, a dopušteno je $6,8''$, nakon astronomске kontrole vanjske geodetske mreže tunela "Mala Kapela" mogao se očekivati uspješan probor tunela i manje dodatnog betoniranja za njegovo izravnavanje u horizontalnom smjeru. Naime, 5 cm deblji beton na 2 km jedne tunelske cijevi promjera 10 m, poskupljuje radove za 440 000 US\$ (Leica 1999). Deblji beton za 17 cm na jednoj tunelskoj cijevi poskupljuje betoniranje za 1 500 000 US\$. Prema tomu dodatna betoniranja i reprofiliranja znatno poskupljuju radove te se isplati uložiti relativno mala dodatna finansijska sredstva u nezavisnu, astronomsku kontrolu smjera probora tunela. Ta nezavisna kontrola osobito je važna pri proboru tunela kroz rastresiti materijal, gdje se odmah kopa s punim profilom i potom betonira s čeličnim oplatama, nakon čega nema više ispravljanja.

8. Povećanje točnosti smjera probora tunela

Primjena astronomске kontrole vanjske geodetske mreže u tunelogradnji omogućuje osim nezavisne kontrole mreže i povećanje točnosti davanja smjera probora tunela, odnosno povećanje točnosti azimuta strana s kojih se poligonskim vlakom ulazi u tunel. Mjerna nesigurnost azimuta strane za orijentaciju poligonskog vlaka na južnom portalu tunela "Mala Kapela", određena iz GPS mjerjenja, iznosila je $2,7''$, a na sjevernom portalu $1,4''$. Mjerna nesigurnost astronomskog azimuta reducirano na elipsoid na jednom portalu s obzirom na drugi portal manja je od $1,0''$. Prema tomu, mjerna nesigurnost astronomskih azimuta reduciranih na elipsoid približno je dva puta manja od mjerne nesigurnosti azimuta određenih iz GPS mjerjenja. Ako se dakle pri izjednačenju vanjske geodetske mreže uvrste i astronomski

azimuti reducirani na elipsoid, moguće je postići veću točnost, osobito ako su strane za orijentaciju poligonskih vlakova kratke. Nadalje, može se povećati točnost orijentacije poligonskih vlakova kojima se ulazi u tunel ako se uzmu u obzir komponente otklona vertikale na mjerjenje prijelomnoga kuta na početnoj točki poligonskog vlaka. To je osobito važno ako su strane za orijentaciju poligonskih vlakova strme.

8.1. Utjecaj otklona vertikale na prijelomni kut

Da bi se povećala točnost orijentacije poligonskog vlaka potrebno je izmjereni prijelomni kut na početnoj točki poligonskog vlaka korigirati za utjecaj otklona vertikale, osobito ako su strane za orijentaciju strme. Odnosno, potrebno je izmjereni prijelomni kut na fizičkoj zemljinoj površini (geoidu) reducirati na prijelomni kut na elipsoidu jer sve računamo na elipsoid.

Izmjereni prijelomni kut početne točke poligonskog vlaka reduciramo na prijelomni kut na elipsoidu (slika 5) prema izvedenoj jednadžbi (Heiskanen, Moritz 1967, Torge 1980, Zakatov 1976):

$$\alpha_{\text{EL}} = A_{\text{EL1}}^{\text{GPS}} - A_{\text{ELJ2}}^{\text{GPS}} \approx \frac{\eta \cdot \cos A_{\text{EL1}}^{\text{GPS}} - \xi \cdot \sin A_{\text{EL1}}^{\text{GPS}}}{\tan z_1} - \frac{\eta \cdot \cos A_{\text{ELJ2}}^{\text{GPS}} - \xi \cdot \sin A_{\text{ELJ2}}^{\text{GPS}}}{\tan z_{\text{J2}}} + \alpha_{\text{FIZ}} \quad (1)$$

gdje su

α_{EL} – prijelomni kut u J1 reducirani na elipsoid

$A_{\text{EL1}}^{\text{GPS}}$ – azimut na elipsoidu od J1 prema 1

$A_{\text{ELJ2}}^{\text{GPS}}$ – azimut na elipsoidu od J1 prema J2

z_1 – zenitna duljina od J1 prema 1

z_{J2} – zenitna duljina od J1 prema J2

α_{FIZ} – prijelomni kut u J1, izmjereni na fizičkoj Zemljinoj površini.

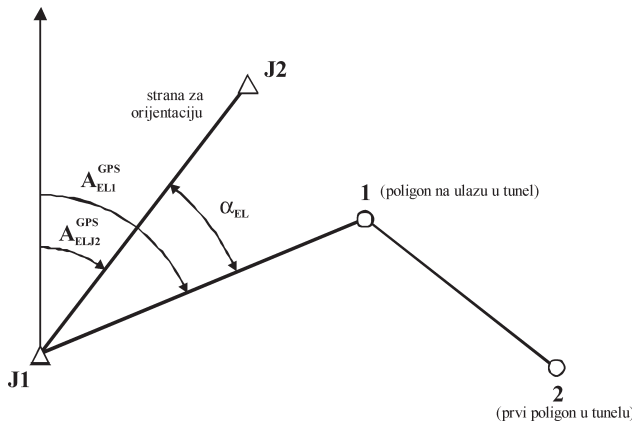
Redukcijom prijelomna kuta izmjereno na fizičkoj Zemljinoj površini između strana J1-1 ($A_{\text{EL1}}^{\text{GPS}} = 342^\circ$, $z_1 = 97^\circ$) i J1-J2 ($A_{\text{ELJ2}}^{\text{GPS}} = 208^\circ$, $z_{\text{J2}} = 98^\circ$) na kut na elipsoidu, uz komponente otklona vertikale¹ na južnom portalu tunela "Mala Kapela" $\eta = -11,91''$, $\xi = -6,84''$, dobivamo prema (1):

$$\alpha_{\text{EL}} = A_{\text{EL1}}^{\text{GPS}} - A_{\text{ELJ2}}^{\text{GPS}} = +1,74'' + 1,03'' + \alpha_{\text{FIZ}} .$$

Utjecaj otklona vertikale u J1 prema 1 je $+1,74''$, a na poligonu 1 u smjeru prema J1 utjecaj otklona vertikale je $-1,74''$. Vizura s poligona 1 prema poligonu 2 približno je u horizontu, pa je utjecaj otklona vertikale u tom smjeru približno jednak nuli kao i dalje u tunelu. Zbog toga je utjecaj otklona vertikale na cijeli poligonski vlak na južnom portalu samo $1,03''$.

Iako su na tunelu "Mala Kapela" komponente otklona vertikale velike, na južnom portalu ($\xi = -6,8''$, $\eta = -11,9''$) i sjevernom portalu ($\xi = +0,5''$, $\eta = -3,2''$), utjecaj je otklona vertikale na prijelomni kut malen jer su strane za orijentaciju približno u ho-

¹u odnosu na elipsoid WGS84



Slika 5. Strana vanjske geodetske mreže za orijentaciju i početak poligonskog vlaka kojim se ulazi u tunel.

rizontu. Na južnom portalu taj utjecaj iznosi $1,03''$ (za stranu 8° ispod horizonta), što bi na sredini tunela u ispruženom poligonskom vlaku uzrokovalo poprečnu pogrešku od $1,5$ cm. Na sjevernom portalu taj utjecaj iznosi $0,05''$ (za stranu 1° iznad horizonta), što bi na sredini tunela uzrokovalo poprečnu pogrešku od $0,1$ cm. Na dužim tunelima, gdje su strane za orijentaciju strme, taj utjecaj treba uzimati u račun.

Kada bi strane za orijentaciju na tunelu "Mala Kapela" bile strme npr. 30° i azimut strana za orijentaciju na jednom i drugom portalu 144° , tada bi utjecaj otklona vertikale na smjer proba tunela u poprečnom smjeru iznosio $20,2$ cm ($10,1$ cm odstupanje od osi). To bi izazvalo veće troškove reprofiliranja i betoniranja dviju tunelskih cjevi približno za $1\,800\,000$ US\$. Prema tomu isplativo je obaviti dodatnu nezavisnu astronomsku kontrolu smjera proba tunela i uzeti u obzir komponente otklona vertikale.

8.2. Apriorno standardno odstupanje poprečne pogreške ispruženog poligonskog vlaka u tunelu

Približno apriorno standardno odstupanje poprečne pogreške ispruženog poligonskog vlaka u tunelu možemo izračunati po formuli:

$$\sigma_{\text{poprepolig}} = \sqrt{\sigma_{\text{culaz}}^2 (D-d)^2 + \sigma_\alpha^2 [D^2 + (D-2d)^2 + (D-3d)^2 + \dots + (D-nd)^2] + \left(\frac{\sqrt{\sigma_{x,y1}^2 + \sigma_{x,y2}^2}}{l} D \right)^2 + \sigma_{x,y1}^2} \quad (2)$$

gdje je

σ_{culaz} – standardno odstupanje mjerena prijelomnoga kuta na ulazu u tunel (obično je veće nego kod mjerena ostalih prijelomnih kutova, zbog trepenja zraka)

σ_α – standardno odstupanje mjerena prijelomnoga kuta

D – duljina poligonskog vlaka

D – duljina poligonske strane

L – duljina strane u vanjskoj mreži za orijentaciju poligonskog vlaka

$\sigma_{x,y1}$ – standardno odstupanje koordinata x i y točke vanjske mreže od koje se polazi poligonskim vlakom u tunel

$\sigma_{x,y2}$ – standardno odstupanje koordinata x i y točke vanjske mreže prema kojoj se orijentira poligonski vlak.

Apriorno standardno odstupanje poprečne pogreške poligonskog vlaka do sredine tunela dugoga 6 km, uz $\sigma_{\text{culaza}} = 2''$, $\sigma_\alpha = 1''$, $D = 3\,000$ m, $d = 200$ m, $\sigma_{x,y1} = 0,007$ m, $\sigma_{x,y2} = 0,007$ m i $l = 1000$ m prema (2) iznosi:

$$\sigma_{\text{poprepolig}} = 5,1 \text{ cm.}$$

Standardno odstupanje razlike između osi dobivenih iz poligonskih vlakova s jedne i druge strane tunela iznosi:

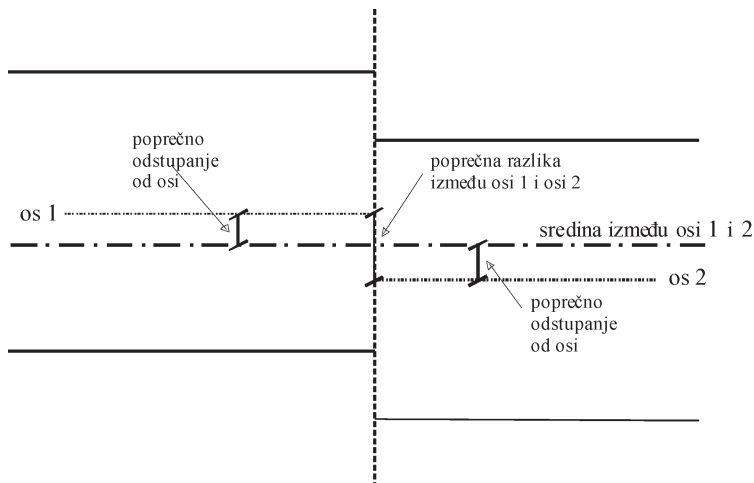
$$\sigma_{\text{razlikepopreč}} = \sqrt{\sigma_{\text{poprepolig}}^2 + \sigma_{\text{poprepolig}}^2} = 7,2 \text{ cm.}$$

Ako je na mjestu probaja tunela os tunela sredina između osi dobivene s jedne i druge strane tunela (slika 6), tada je standardno odstupanje poprečne pogreške probaja

$$\sigma_{\text{poprečprobaja}} = \sigma_{\text{razlikepopreč}} / 2 = 3,6 \text{ cm.}$$

Dopušteno poprečno odstupanje od osi probaja, na sredini tunela dugoga 6 km, prema mjernoj nesigurnosti, s pouzdanošću 95% iznosi:

$$\text{dopušteno} = \sigma_{\text{poprečprobaja}} \cdot 2 = 7,2 \text{ cm.}$$



Slika 6. Poprečno odstupanje od osi tunela.

Prema *Pravilniku o tehničkim normativima i uvjetima za projektiranje i gradnju tunela na cestama* (čl. 53 Zakona o normizaciji, NN 5/96-2336) dopušteno poprečno i uzdužno odstupanje (u centimetrima) pri proboru tunela duljine 6 km iznosi $6\sqrt{D} = 14,7$ cm, gdje je D duljina tunela u kilometrima. Tako veliko dopušteno odstupanje pri proboru tunela može poskupiti reprofiliranje i betoniranje tunela s dvije tunelske cijevi oko 2 600 000 US\$.

Danas bi se ta dopuštena odstupanja mogla smanjiti kada bi se pri određivanju smjera probora tunela primjenila i dodatna nezavisna astronomска kontrola smjera probora tunela i ako se uzmu u obzir komponente otklona vertikale. To bi, vrlo često, omogućilo velike financijske uštede.

9. Poprečno i uzdužno odstupanje probora tunela "Mala Kapela"

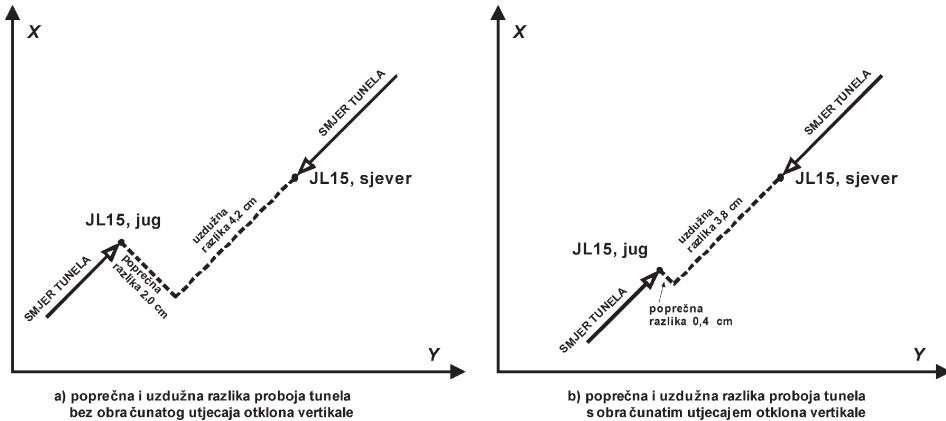
Da bi se odredilo poprečno i uzdužno odstupanje probora od osi tunela određene su koordinate poligona JL15 (lijeva tunelska cijev) i JD15 (desna cijev) s pomoću slijepih poligonskih vlakova sa sjevernog i južnog portala (Furić 2004). U tablici 3 prikazane su razlike koordinata Y i X na mjestu probora, približno u sredini tunela. Iz tablice vidimo da je prosječna razlika po osi Y 0,043 m, a po osi X 0,016 m.

Tablica 3. Razlike koordinata Y i X na mjestu probora tunela "Mala Kapela".

Lijeva cijev tunela				
JL15 sa sjevera	$Y =$	5 518 095,996 m	$X =$	4 994 427,590 m
JL15 s juga	$Y =$	5 518 095,950 m	$X =$	4 994 427,574 m
Razlika	$\Delta Y =$	0,046 m	$\Delta X =$	0,016 m
Desna cijev tunela				
JD15 sa sjevera	$Y =$	5 518 063,327 m	$X =$	4 994 441,014 m
JD15 s juga	$Y =$	5 518 063,288 m	$X =$	4 994 440,997 m
Razlika	$\Delta Y =$	0,039 m	$\Delta X =$	0,017 m
Sredina razlika po osi Y	$\Delta Y =$	0,043 m		
Sredina razlika po osi X			$\Delta X =$	0,016 m

Na slici 7 prikazane su poprečne i uzdužne razlike između osi probora tunela bez obračunatog utjecaja otklona vertikale i s njim. Poprečno odstupanje probora od osi tunela bez obračunatog utjecaja otklona vertikale iznosi 1,0 cm (2,0 : 2) a uzdužno 2,1 cm (4,2 : 2).

Poprečno odstupanje s obračunatim utjecajem otklona vertikale iznosi 0,2 cm, a uzdužno 1,9 cm. Postignuta i dopuštena poprečna i uzdužna odstupanja probora od osi tunela prikazana su u tablici 4.



Slika 7. Poprečne i uzdužne razlike probaja tunela “Mala Kapela”.

Tablica 4. Postignuta i dopuštena odstupanja probaja od osi tunela.

	Slijepi poligonski vlak bez obračunatog utjecaja otklona vertikale	Slijepi poligonski vlak s obračunatim utjecajem otklona vertikale
Poprečno odstupanje od osi	1,0 cm	0,2 cm
Uzdužno odstupanje po osi	2,1 cm	1,9 cm
Odstupanje po visini	1,0 cm	1,0 cm
Dopušteno poprečno i uzdužno odstupanje po Pravilniku	14,7 cm	14,7 cm
Dopušteno odstupanje po visini po Pravilniku	5,6 cm	5,6 cm

Budući da je postignuto poprečno odstupanje probaja tunela “Mala Kapela” (tablica 4) znatno manje od poprečnog odstupanja prema *Pravilniku* dopuštenog (14,7 cm), proboj tunela bio je uspješan, odnosno vrlo je precizno određena vanjska geodetska mreža a i poligonski vlakovi u tunelu. Utjecaj otklona vertikale na početne prijelomne kuteve bio je malen zato što su strane za orijentaciju poligonskih vlakova bile približno u horizontu. No, ipak je postignuto neznatno bolje poprečno odstupanje ako se uzmu u obzir otkloni vertikale.

10. Zaključak

Automatiziranom astronomskom kontrolom geodetske mreže iznad tunela neovisnom o klasičnim i GPS mjeranjima kontroliramo je li vanjska geodetska mreža tunela dobro postavljena. Osim toga može se povećati i točnost probaja tunela, osobito ako su strane za orijentaciju poligonskih vlakova kojima se ulazi u tunel kratke i strme.

Geodetski radovi mogu znatno utjecati na troškove izgradnje skupih i velikih građevinskih objekata. Zato je vrlo važno da su geodetska mjerena i kontrole izvedene s više potpuno nezavisnih (nekoreliranih) metoda. Voditelji geodetskih radova na tunelu *Gotthard-Base-Tunnel* duljine 57 km, napisali su: “*The subsequences of systematic errors can be dramatic and their risk factor is serious. The best and adequate to minimize these risk is given by involving different, non-correlated surveying methodes, data processing tools, mathematical models etc.*” (Hagg, Stengl 1997). [Posljedice sustavnih pogrešaka mogu biti dramatične i faktor je njihovih rizika ozbiljan. Najbolje je adekvatno smanjiti taj rizik uključujući različite *nekorelirane (nezavisne)* mjerne metode, procesne obrade podataka, matematske modele itd.]. Upravo je astronomska kontrola nezavisna kontrola geodetske mreže iznad tunela koja omogućuje geodetskim stručnjacima mirnije očekivanje uspješnog proboga. To je i sigurnost investitora da neće biti nepotrebnih troškova za dodatna betoniranja i reprofiliranja pri izravnavanju tunela. Zato bi za primjenu astronomске kontrole geodetske mreže iznad tunela i smjera proboga, osim projektanata, trebali biti posebno zainteresirani investitori.

Razlika između razlike azimuta na elipsoidu određenih astronomskim i GPS mjerjenjima na južnom ΔA_{J1-J2} i sjevernom ΔA_{S1-S4} portalu tunela “Mala Kapela” iznosila je

$$\Delta(\Delta A) = \Delta A_{J1-J2} - \Delta A_{S1-S4} = 3,5'' - 4,5'' = - 1,0''.$$

Ta bi razlika teorijski trebala biti $0''$, ali i razlika od $1,0''$ u odnosu na dopuštenih $6,8''$ pokazuje da je geodetska mreža iznad tunela dobro postavljena.

Iz kontrolnih mjerena nakon proboga tunela dobiveno je, približno na sredini tunela, poprečno odstupanje od osi $1,0$ cm. Uzme li se u obzir utjecaj komponenata otklona vertikale poprečno odstupanje iznosi $0,2$ cm. Prema tomu, utjecaj otklona vertikale na smjer proboga tunela bio je malen zato što su strane za orientaciju kojima se ulazi u tunel bile približno horizontalne. Da su strane za orientaciju poligonskih vlakova bile strme npr. 30° i azimut strane 144° , utjecaj otklona vertikale bio bi $20,2$ cm. Takvo znatno odstupanje od osi uzrokovalo bi dodatni trošak od približno $1\ 800\ 000$ US\$ za reprofiliranja i betoniranja dviju tunelskih cijevi. Prema tomu, dodatna betoniranja znatno poskupljuju radove pa se isplati dodatno uložiti relativno mala finansijska sredstva u nezavisnu, astronomsku kontrolu smjera proboga tunela. Ta kontrola osobito je važna pri proboru tunela s rastresitim materijalima, gdje se kopa s punim profilom i potom odmah betonira s čeličnim oplatama, nakon čega nema više ispravljanja.

Prema Pravilniku o tehničkim normativima za projektiranje i gradnju tunela u Republici Hrvatskoj dopuštena su velika odstupanja pri proboru tunela, koja mogu uzrokovati dodatni finansijski trošak. Primjerice, na tunelu duljine 6 km dopušteno je odstupanje $14,7$ cm, što kod tunela s dvije tunelske cijevi može poskupiti reprofiliranje i betoniranje približno i do $2\ 600\ 000$ US\$. Danas bi dopuštena odstupanja mogla smanjiti ako bi se pri određivanju smjera proboga tunela primijenila dodatna nezavisna astronomska kontrola i uzeo u obzir otklon vertikale.

Literatura

- Džapo, M., Zrinjski, M. (2004): Podzemna geodetska osnova tunela "Mala Kapela". Geodetski list, 3, 117-132.
- Furić, D. (2004): Podaci mjerena poligonskih vlakova nakon proboga tunela "Mala Kapela".
- Haag, R., Stengelle, R. (1997): The Gotthard-Base-Tunnel Surveying of a 57 km long Ungerground Project in the Swiss Alps. FIG-Symposium Surveying of large Bridge and Tunnel Projects, Copenhagen 1997, 23-32.
- Heiskanen, W. A., Moritz, H. (1967): Physical Geodesy. W.H. Freeman and Company, San Francisco, London.
- Leica (1999): Leica TMS PROFILE, 3-D profile measuremet in undergrund construction. Leica Geosystems AG, Heerbrugg.
- Sigl, R. (1978): Geodätische Astronomie. Herbert Wichmann Verlag, Karlsruhe.
- Solarić, N. (1983): Automatische Bestimmung des Richtungswinkels mit dem elektronischen Theodolit Kern E1 mittels Zenitdistanzen der Sonne. XVIII Internationaler Kongress FIG, Sofia, 19-28. Juni 1983.
- Solarić, N. (1985): Automatische Bestimmung des Richtungswinkels mit dem elektronischen Theodolit Kern E1 mittels Zenitdistanzen der Sonne. Wissenschaftlichen Zeitschrift TU Dresden, Heft 6/1984, 114-117.
- Solarić, N. (1991): Automatic grid azimuth by hour angle of sun, a star, or a planet using an electronic theodolite Kern E2. Astrophysics and Space Science, vol. 177, 175-179.
- Solarić, N., Bilajbegović, A., Solarić, M., Špoljarić, D. (1997a): Independent control of geodetic networks above long tunnels by means of astronomically determined azimuths. Proceedings surveying of large bridge and tunnel projects, FIG-symposium, Copenhagen, June 2-5.
- Solarić, N., Bilajbegović, A., Solarić, M., Špoljarić, D. (1997b): Nezavisna kontrola geodetskih mreža iznad dugih tunela pomoću astronomski određenih smjernih kutova, Geodetski list, 1, 13-24.
- Solarić, N., Bilajbegović, A., Špoljarić, D. (1990): Kontrola geodetskih mreža iznad tunela pomoću azimuta. Građevinar, 1990, 11, 12-15.
- Solarić, N., Špoljarić, D. (1992): Accuracy of the automatic astronomical azimuth determination by observing the Polaris with Leica-Kern E2 electronic theodolite. Surveying and Land Information Systems, 2, 80-85.
- Solarić, N., Špoljarić, D. (2003): Kontrola geodetske mreže na ulazu i izlazu tunela "Mala Kapela" automatiziranim astronomskom metodom. Tehnički elaborat, Geodetski fakultet, Zagreb.
- Solarić, N., Špoljarić, D., Lukinac, Z. (1994): Accuracy of automatic astronomical azimuth determination by Astronomical Methods with the Leica-Kern E2 theodolite. Surveying and Land Information Systems, 1, 5-19.
- Solarić, N., Špoljarić, D., Vresk, M., Skender, I. (1991): Automatic determination of the astronomical azimuth by observing a celestial body using electronic theodolite Kern E2 and laptop computer Toshiba T1600. Hvar Obser. Bulletin, vol. 15, 1, 35-43.

- Solarić, N., Veršić, Z., Špoljarić, D. (2005): Independent control of GPS Networks above Long Tunnels by Means of Astronomical Determined Azimuth or Bearing Angels. (u tisku u Survey review u 2005. godini).
- Špoljarić, D. (2002): Automatizacija simultanog određivanja astronomskih koordinata na geoidnim točkama. Geodetski fakultet Sveučilišta u Zagrebu (disertacija).
- Terzić, P. (1988): Geodetska astronomija. Sveučilišna naklada Liber Zagreb.
- Torge, W. (1980): Geodesy. W. de Gruyter, New York, Berlin.
- Vojnović, I., Đuretek, D. (2003): Elaborat o tunelu Mala Kapela. Geoprojekt, Zagreb.
- Zakatov, P. S. (1976): Kurs vysšej geodezii. Moskva.

Independent Astronomic Control of the External Geodetic Network above the Tunnel “Mala Kapela”

ABSTRACT. The paper describes the automated control of the external geodetic network above the tunnel “Mala Kapela” and possible increase of accuracy in tunnel cutting especially if the sides for the orientation of traverses used for entering in the tunnel are short and steep.

Independent astronomic controls of geodetic networks above tunnels applied so far have had only the astronomic azimuth determined in automated manner. The components of vertical deflection have been computed out of topographic masses or geoids, which is more inaccurate than the components determined in astrogeodetic measurements. In autumn 2003, the automated astronomic control of GPS networks above the 6 km long tunnel “Mala Kapela” has been applied on the whole for the first time.

After cutting the tunnel, the obtained transversal deflection from the axis was 1.0 cm.

Considering the influence of vertical deflection, the transversal deflection runs up to 0.2 cm. If the sides for the orientation of traverses used for entering in the tunnel were e.g. 30° steep, and the azimuths of sides were 144°, the influence of vertical deflection would be 20.2 cm. Such a significant deflection from the axis would cause additional expenses for concreting and reprofiling two tunnel tubes amounting up to approximately 1 800 000 US\$. Hence, if we take the deflection of the vertical into consideration, we can reduce the additional concreting expenses. The Ordinance on Technical Standards for Design and Construction of Tunnels in the Republic of Croatia allow large tolerances in cutting the tunnels, which might cause additional financial costs. We could reduce the tolerances allowed today, if we would apply the additional independent astronomic control in the determination of tunnel cutting direction, and take the deflection of the vertical in consideration.

Keywords: *independent control of external geodetic network above tunnels, automated determination of azimuth, automated determination of astronomic latitude and longitude.*